

**Л. А. Каюкова*, М. А. Оразбаева, Г. И. Гаппарова, К. М. Бекетов,
А. А. Еспенбетов, М. Ф. Фасхутдинов, Б. Т. Ташходжаев^a**

**БЫСТРЫЙ КИСЛОТНЫЙ ГИДРОЛИЗ
5-АРИЛ-3-(β -ТИОМОРФОЛИНОЭТИЛ)-1,2,4-ОКСАДИАЗОЛОВ**

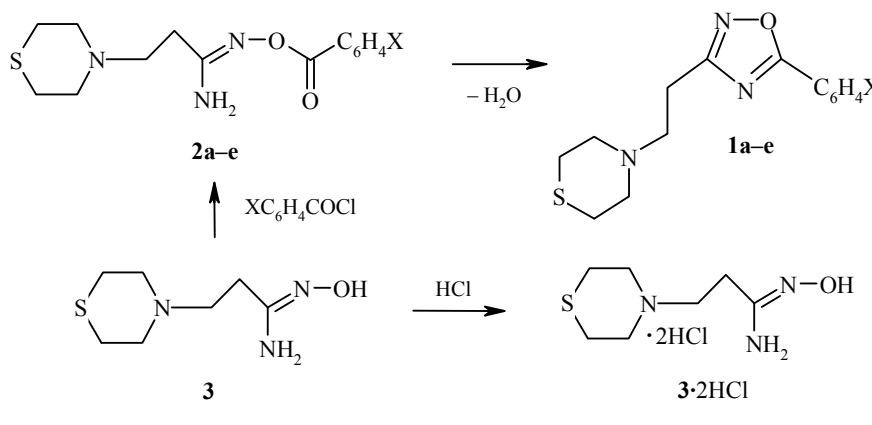
При кислотном гидролизе ряда 5-арил-3-(β -тиоморфолиноэтил)-1,2,4-оксадиазолов получены замещенные бензойные кислоты и гидрат 2-амино-8-тиа-1-аза-5-азониаспиро[4.5]дец-1-енхлорида, структура которого доказана спектральными методами и РСА.

Ключевые слова: 5-арил-3-(β -тиоморфолиноэтил)-1,2,4-оксадиазолы, гидрат 2-амино-8-тиа-1-аза-5-азониаспиро[4.5]дец-1-енхлорида, замещённые бензойные кислоты, кислотный гидролиз, РСА.

Возможность существования О-ароил- β -аминопропиоамидоксимов и 5-арил-3-(β -аминоэтил)-1,2,4-оксадиазолов в виде стабильных оснований и гидрохлоридов была продемонстрирована нами в предыдущих работах, в которых описаны β -пиперидиновые, β -морфолиновые и β -бензимидазол-содержащие производные; они не претерпевали структурных изменений при выделении из реакционной смеси, перекристаллизации, получении физико-химических и спектральных данных, характеристиках РСА [1–3].

Цель настоящей работы – изучение реакции хлористого водорода с 5-арил-3-(β -тиоморфолиноэтил)-1,2,4-оксадиазолами **1a–e**, полученными дегидратацией О-ароил- β -(тиоморфолино)пропиоамидоксимов **2a–e**. Последние синтезированы ацилированием β -(тиоморфолино)пропиоамидоксима (**3**) хлорангидридами замещённых бензойных кислот [4, 5] (схема 1).

Схема 1



1,2 a X = *p*-MeO, b X = *p*-Me, c X = H, d X = *p*-Br, e X = *m*-Cl

Эфирный раствор HCl со следами влаги добавляют по каплям при комнатной температуре к спиртовым растворам 5-арил-3-(β -тиоморфолиноэтил)-1,2,4-оксадиазолов **1a–e** до pH 2. Во всех случаях сразу после добавления раствора хлористого водорода выпадает осадок малорастворимого в этаноле гидрата 2-амино-8-тиа-1-аза-5-азониаспиро[4.5]дец-1-енхлорида (**4**), после упаривания фильтратов выделяют соответствующие замещённые бензойные кислоты **5a–e** (табл. 1–3).

Образование соединения **4** можно представить как ряд стадий кислотного гидролиза и внутримолекулярной гетероциклизации через промежуточные продукты **1-HCl** – **1·2HCl·2H₂O** – **1·HCl·2H₂O** (схема 2) в процессе взаимодействия оснований 1,2,4-оксадиазолов **1a–e** с неосущенным HCl. Мы полагаем, что решающим является образование аммониевого соединения **1-HCl** и продукта гидролиза **1·2HCl·2H₂O** при атаке атома кислорода гидроксонийхлорида на атом N(2) и кислорода молекулы воды на атом C(5) 1,2,4-оксадиазольного цикла соединений **1a–e**. Стабилизация положительного

Таблица 1

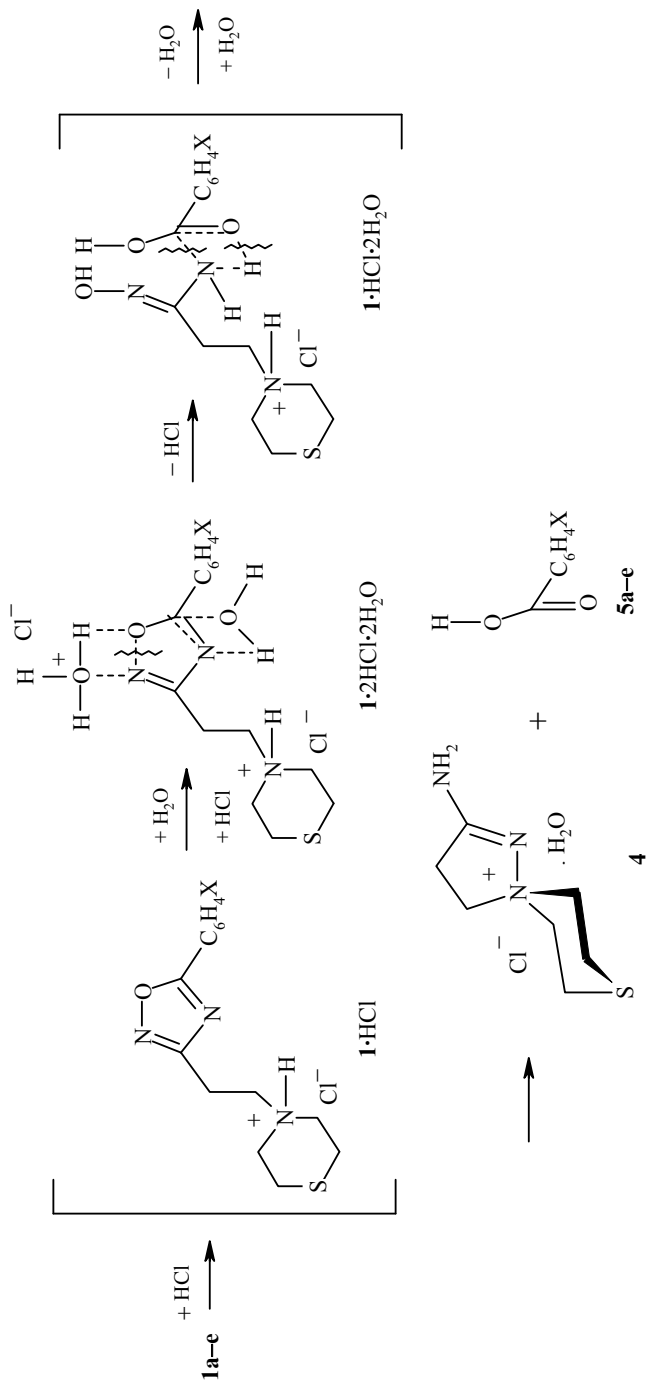
**Физико-химические характеристики соединений 3, 3 · 2HCl, 4
и бензойных кислот 5a–e**

Соединение	Брутто-формула	Найдено, %			T. пл., °C*	<i>R_f</i>	Выход, %
		C	H	Hlg			
3	C ₇ H ₁₅ N ₃ OS	44.20 44.42	8.10 7.99	—	170	0.54	92
3·2HCl	C ₇ H ₁₇ Cl ₂ N ₃ OS	32.50 32.06	6.46 6.53	27.30 27.04	178	0.07	98
4**	C ₇ H ₁₆ ClN ₃ OS	a)37.10; b)37.88; c)37.23; d)37.84; e)37.74	a)7.52; b)7.40; c)6.56; d)6.95; e)6.86	a)15.02; b)15.24; c)15.41; d)15.80; e)16.03	302	0.09	40–47
		37.25	7.14	15.71			
5a	C ₈ H ₈ O ₃	63.00 63.15	5.90 5.30	—	180 (181–186)	0.75	43
5b	C ₈ H ₈ O ₂	70.20 70.57	6.33 5.92	—	178 (179–182)	0.76	45
5c	C ₇ H ₆ O ₂	68.93 68.85	5.06 4.95	—	112 (121–123)	0.79	41
5d	C ₇ H ₅ BrO ₂	42.20 41.83	3.04 2.51	39.55 39.75	247 (251–256)	0.81	40
5e	C ₇ H ₅ ClO ₂	53.90 53.70	3.70 3.22	23.03 22.64	150 (154–157)	0.82	43

* В скобках приведены литературные данные [Каталог Acros Organics (2004-2005)].

** В графе "Найдено" приведены данные элементного анализа соединения **4**, соответствующие его синтезам из производных **1a–e**.

Cxema 2



5a $\text{X} = p\text{-OMe}$, **5b** $\text{X} = p\text{-Me}$, **c** $\text{X} = \text{H}$, **d** $\text{X} = p\text{-Br}$, **e** $\text{X} = m\text{-Cl}$

Таблица 2

ИК спектры соединений 3, 3·2HCl, 4 и 5a–e

Соеди- нение	$\nu, \delta, \text{cm}^{-1}$ (таблетки KBr)						
	$\nu_{\text{C=O}}$ (оч. с)	$\nu_{\text{C=N}}$ (оч. с)	$\delta_{\text{N-H}},$ $\delta_{(\text{N+}-\text{H})_2}$	$\nu_{\text{C=C}}$	$\delta_{\text{O-H}}$	$\nu_{\text{C-O}}$ (оч. с)	$\nu_{\text{C-S}}$ (с)
3	—	1659	1598 cp	—	1421 cp	—	779
3·2HCl	—	1688	1632 сл	—	1409 cp	—	719
4	—	1657	1610 оч. с	—	—	—	668
5a	1677	—	—	1612 оч. с	1418 c 1602	1286; 1320 1286; 1320	—
5b	1677	—	—	1418 cp	—	—	—
5c	1678	—	—	1602 cp	1424 1610	1293; 1327 1296; 1323	—
5d	1679	—	—	1427 cp	—	1260; 1303 1419 c cp	—
5e	1698	—	—	1600 cp	—	—	—

Таблица 3

Спектры ЯМР ^1H соединений 3, 3·2HCl, 4 и 5a–e

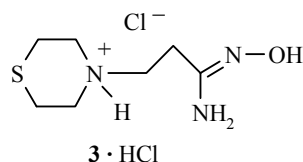
Соеди- нение	Химические сдвиги (δ МСО-d ₆), δ , м. д. (J , Гц)						COOH, ущ. с
	N(CH ₂) ₂ (3 и 3 ·2HCl) или N(+)CH ₂) ₂ (4)	S(CH ₂) ₂	α -CH ₂ (3 и 3 ·2HCl); C(3)H ₂ (4)	β -CH ₂ (3 и 3·2HCl); C(4)H ₂ (4)	NH ₂ , (2H, уш. с)	NOH (3); N(+) H (3 ·2HCl); H ₂ O (4)	C ₆ H ₄ X
3	2.64 (4H, m) 3.45 (6H, m) **	2.55 (6H, m)* 3.04 (6H, m)**	2.08 (2H, t, J = 7.0) —**	—*	5.40	8.74 (уш. с)	—
4	3.62 (2H, m); 3.74 (2H, m)	2.88 (2H, m); 3.14 (4H, m)*	—*	3.88 (2H, t, J = 7.0)	7.48	8.94 (уш. с) и 11.10 (уш. с)	—
5a	—	—	—	—	—	3.37 (2H, уш. с)	—
5b	—	—	—	—	—	—	—
5c	—	—	—	—	—	—	—
5d	—	—	—	—	—	—	—
5e	—	—	—	—	—	—	—

* В соединении **3** сигналы протонов групп β -CH₂ совпадают с сигналами протонов группы S(CH₂)₂, а в соединении **4** сигналы протонов группы C(3)H₂ совпадают с сигналами протонов группы S(CH₂)₂ при δ 3.14 м. д.

** Сигналы протонов групп α -CH₂ и β -CH₂ совпадают с сигналами протонов групп S(CH₂)₂ и N(+)(CH₂)₂.

заряда на аммонийном атоме азота тиоморфолинового цикла неподелённой электронной парой оксимного атома азота и отщепление молекулы воды в **1**·HCl·2H₂O завершает гетероциклизацию с образованием спиро-соединения **4**.

Соединение **4** плохо растворимо в реакционной среде – растворе HCl в смеси EtOH с H₂O – при комнатной температуре и представляет собой высокоплавкий белый осадок. При упаривании фильтрата выделены соответствующие замещенные бензойные кислоты **5a–e**, идентифицированные по спектральным характеристикам и температурам плавления (табл. 1–3). Спироазонийхлорид **4** – изомер гидрохлорида амидоксима **3**·HCl, причём структуре последнего не противоречат данные ИК и ЯМР ¹H спектров соединения **4**.



Температуры плавления соединений **3**, **3**·2HCl и **4** равны 170, 178 и 303 °C соответственно. Характеристичные полосы валентных и деформационных колебаний приведены в табл. 2. При переходе от соединения **3** к **3**·2HCl и **4** в спектрах ЯМР ¹H наблюдаются смещения сигналов протонов групп α -CH₂ и β -CH₂ от δ 2.08 и 2.55 (**3**) к 3.04 и 3.45 (**3**·2HCl) и к 3.14 (C(3)H₂) и 3.88 м. д. (C(4)H₂) соединения **4**. Кроме того, сигналы протонов метиленовых групп N(+)(CH₂)₂ и S(CH₂)₂, тиоморфолинового цикла соединения **4** находятся в более низких полях по сравнению с одноименными сигналами соединений **3** и **3**·2HCl и распадаются на две группы мультиплетных сигналов при δ 3.74, 3.62 и 2.88, 3.14 м. д. интенсивностью в два протона (табл. 3).

Резкое отличие физико-химических и спектральных характеристик соединения **4** от соответствующих данных β -(тиоморфолино)пропиоамидооксима (**3**) и его дигидрохлорида **3**·2HCl привело к необходимости получения РСА для этого образца.

PCA установлено, что исследованное соединение **4** представляет собой гидрат 2-амино-8-тиа-1-аза-5-азониаспиро[4.5]дец-1-енхлорида. На рис. 1 представлено строение двух кристаллографически независимых катионов (**A** и **B**), связанных между собой межмолекулярными водородными связями с хлорид-анионами и молекулами воды.

Тиоморфолиновые циклы в гидратах хлорида аммония **A** и **B** в пределах погрешностей фактически изоструктурны и имеют конформации *кресла*, а имидазолидиновые циклы – конформации *конверта* и являются зеркальными отображениями друг друга (табл. 4).

Посредством системы водородных связей в кристаллах соединения **4** образуются слои, параллельные плоскости *ab* (рис. 2). Геометрия межмолекулярных взаимодействий представлена в табл. 5.

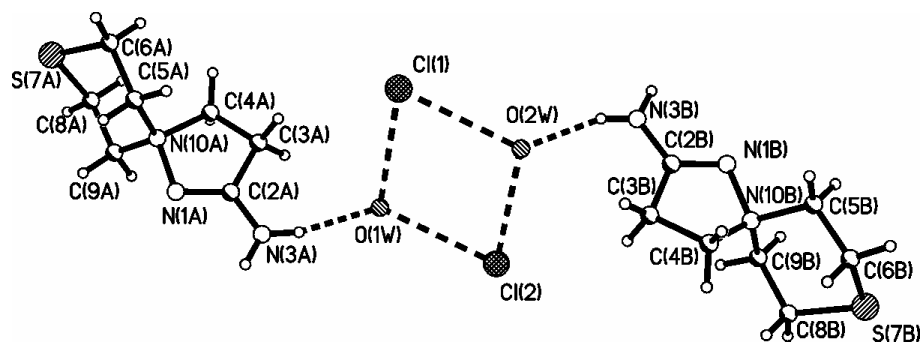


Рис. 1. Ассоциация соединения 4 (независимая часть), приведена нумерация неводородных атомов

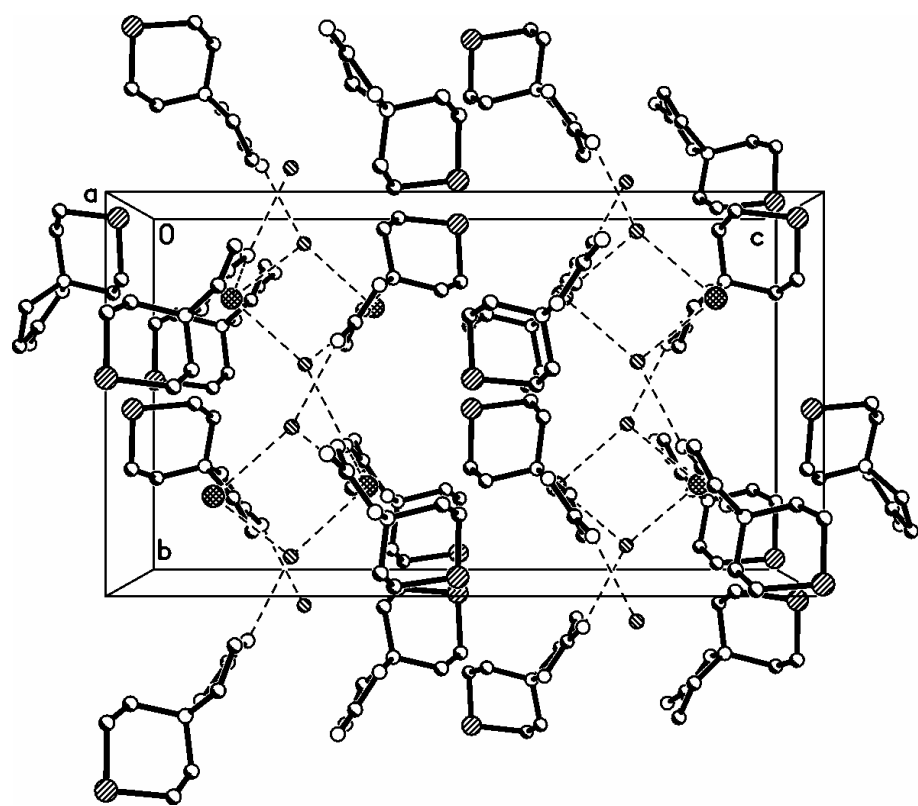


Рис. 2. Кристаллическая структура соединения 4

Таблица 4

Некоторые торсионные (ϕ) углы в структуре 4

Угол	ϕ , град.	Угол	ϕ , град.
Имидазолидиновый цикл		Тиоморфолиновый цикл	
N(10A)–N(1A)–C(2A)–C(3A)	-5(2)	N(10A)–C(5A)–C(6A)–S(7A)	60.7(17)
N(1A)–C(2A)–C(3A)–C(4A)	-8(2)	C(5A)–C(6A)–S(7A)–C(8A)	-55.8(13)
C(2A)–C(3A)–C(4A)–N(10A)	15.2(17)	C(6A)–S(7A)–C(8A)–C(9A)	58.1(14)
C(3A)–C(4A)–N(10A)–N(1A)	-18.4(17)	S(7A)–C(8A)–C(9A)–N(10A)	-63.9(16)
C(2A)–N(1A)–N(10A)–C(4A)	14.7(17)	C(8A)–C(9A)–N(10A)–C(5A)	58.7(18)
N(10B)–N(1B)–C(2B)–C(3B)	-0.4(18)	C(6A)–C(5A)–N(10A)–C(9A)	-57.9(19)
N(1B)–C(2B)–C(3B)–C(4B)	16(2)	N(10B)–C(5B)–C(6B)–S(7B)	64.6(16)
C(2B)–C(3B)–C(4B)–N(10B)	-24.3(17)	C(5B)–C(6B)–S(7B)–C(8B)	-55.3(14)
C(8B)–C(9B)–N(10B)–N(1B)	174.0(13)	C(6B)–S(7B)–C(8B)–C(9B)	56.9(15)
C(2B)–N(1B)–N(10B)–C(4B)	-16.4(16)	S(7B)–C(8B)–C(9B)–N(10B)	-65.1(17)
		C(8B)–C(9B)–N(10B)–C(4B)	-67.2(18)
		C(6B)–C(5B)–N(10B)–C(9B)	-63.9(18)

Таблица 5

Межмолекулярные взаимодействия в структуре соединения 4

Связь*	Расстояние, Å			Угол D–H…A, град.
	D–H	H…A	D…A	
O(1W)…Cl(1)i			3.12 (1)	
O(1W)…Cl(2)i			3.08(1)	
O(2W)…Cl(1)i			3.12(1)	
O(2W)…Cl(2)i			3.12(1)	
C(3A)–H(3AD)…O(1W)i	0.97	1.99	3.37(2)	94.9
C(3B)–H(3BD)…O(2W)i	0.97	2.01	3.31(2)	90.5
N(3B)–H(3BC)…Cl(1)ii	0.86	2.41	3.26(1)	170.6
N(3A)–H(3AC)…Cl(2)iii	0.86	2.44	3.30(1)	174.3

* Коды симметрии: (i) x, y, x ; (ii) $1-x, 0.5+y, 0.5-z$; (iii) $-x, -0.5+y, 0.5-z$.

Т а б л и ц а 6

Кристаллографические параметры и экспериментальные данные для соединения 4

Брутто-формула	C ₇ H ₁₄ ClN ₃ OS
Параметры ячейки	
<i>a</i> , Å	10.166(2)
<i>b</i> , Å	11.060(2)
<i>c</i> , Å	19.610(4)
Пространственная группа	<i>P</i> 2 ₁ 2 ₁ 2 ₁
Объём элементарной ячейки, <i>V</i> , Å ³	2204.9(8)
<i>Z</i> (две независимые формульные единицы в ячейке)	8
Плотность кристаллов, ρ _{выч} , г/см ³	1.348
Коэффициент поглощения, μ , мм ⁻¹	4.598
<i>F</i> (000)	944
Число отснятых отражений	1885
Число отражений для расчёта	1221
Goof	1.008
Окончательный <i>R</i> -фактор [<i>I</i> >2σ(<i>I</i>)]	<i>R</i> ₁ = 0.0666, <i>wR</i> ₂ = 0.1992
Остаточная электронная плотность, эл. Å ³	0.658 и -0.325

Т а б л и ц а 7

Длины связей (*d*) соединения 4

Связь	<i>d</i> , Å	Связь	<i>d</i> , Å	Связь	<i>d</i> , Å
N(1A)–C(2A)	1.272(19)	C(6A)–S(7A)	1.790(16)	C(3B)–C(4B)	1.51(2)
N(1A)–N(10A)	1.463(18)	S(7A)–C(8A)	1.79(2)	C(4B)–N(10B)	1.48(2)
C(2A)–N(3A)	1.312(19)	C(8A)–C(9A)	1.56(2)	C(5B)–C(6B)	1.50(2)
C(2A)–C(3A)	1.50(2)	C(9A)–N(10A)	1.49(2)	C(5B)–N(10B)	1.525(16)
C(3A)–C(4A)	1.50(2)	N(1B)–C(2B)	1.320(19)	C(6B)–S(7B)	1.813(15)
C(4A)–N(10A)	1.559(18)	N(1B)–N(10B)	1.490(18)	S(7B)–C(8B)	1.800(17)
C(5A)–N(10A)	1.457(17)	C(2B)–N(3B)	1.345(18)	C(8B)–C(9B)	1.50(3)
C(5A)–C(6A)	1.53(2)	C(2B)–C(3B)	1.46(2)	C(9B)–N(10B)	1.541(18)

Т а б л и ц а 8

Валентные углы (ω) соединения 4

Угол	ω , град.	Угол	ω , град.
C(2A)–N(1A)–N(10A)	108.7(12)	C(2B)–N(1B)–N(10B)	104.1(12)
N(1A)–C(2A)–N(3A)	124.1(15)	N(1B)–C(2B)–N(3B)	119.9(15)
N(1A)–C(2A)–C(3A)	115.4(15)	N(1B)–C(2B)–C(3B)	117.2(14)
N(3A)–C(2A)–C(3A)	120.5(13)	N(3B)–C(2B)–C(3B)	122.9(13)
C(2A)–C(3A)–C(4A)	103.5(14)	C(2B)–C(3B)–C(4B)	100.5(13)
C(3A)–C(4A)–N(10A)	102.5(12)	N(10B)–C(4B)–C(3B)	103.8(12)
N(10A)–C(5A)–C(6A)	115.3(12)	C(6B)–C(5B)–N(10B)	112.4(14)
C(5A)–C(6A)–S(7A)	111.9(11)	C(5B)–C(6B)–S(7B)	112.0(11)
C(6A)–S(7A)–C(8A)	95.9(8)	C(8B)–S(7B)–C(6B)	95.8(9)
C(9A)–C(8A)–S(7A)	111.2(13)	C(9B)–C(8B)–S(7B)	113.7(13)
N(10A)–C(9A)–C(8A)	111.8(16)	C(8B)–C(9B)–N(10B)	110.2(14)
C(5A)–N(10A)–N(1A)	108.5(11)	C(4B)–N(10B)–N(1B)	107.4(12)
C(5A)–N(10A)–C(9A)	112.9(12)	C(4B)–N(10B)–C(5B)	112.8(14)
N(1A)–N(10A)–C(9A)	106.9(13)	N(1B)–N(10B)–C(5B)	103.9(12)
C(5A)–N(10A)–C(4A)	110.6(13)	C(4B)–N(10B)–C(9B)	116.7(12)
N(1A)–N(10A)–C(4A)	106.5(10)	N(1B)–N(10B)–C(9B)	105.1(12)
C(9A)–N(10A)–C(4A)	111.0(13)	C(5B)–N(10B)–C(9B)	109.9(13)

Таким образом, 1,2,4-оксадиазолы с 3-(β -тиоморфолино)этильным заместителем **1a–e** являются химически нестойкими соединениями, подверженными кислотному гидролизу с образованием гидрата 2-амино-8-тиа-1-аза-5-азониаспиро[4.5]дец-1-енхлорида (**4**).

ЭКСПЕРИМЕНТАЛЬНАЯ ЧАСТЬ

ИК спектры сняты на приборе UR-20 в таблетках КBr. Спектры ЯМР ^1H получены на приборе Mercury-300 (300 МГц) с внутренним стандартом ГМДС (δ 0.05 м. д.). Контроль за ходом реакции осуществляют с помощью ТСХ на пластинках Silicagel (Fluka) в элюенте этанол–бензол, 3:1. Растворители, используемые в эксперименте, готовят в соответствии с методиками, описанными в [6]. Выходы, результаты элементного анализа и спектральные характеристики продуктов представлены в табл. 1–3, данные РСА соединения **4** – в табл. 4–8.

Синтез β -(тиоморфолино)пропиоамидоксима (3) приведен в [4].

Получение раствора хлористого водорода в диэтиловом эфире, содержащего следы воды и использованного для кислотного гидролиза 1,2,4-оксадиазолов 1a–e. Абсолютированный диэтиловый эфир насыщают газообразным HCl, который образуется при добавлении конц. H_2SO_4 к продажной сухой соли хлористого натрия. Высушивание газообразного HCl в ловушке с конц. H_2SO_4 не проводят.

Дигидрохлорид β -(тиоморфолино)пропиоамидоксима (3·2HCl). В 20 мл осущенного хлороформа растворяют 0.2 г (1.0 ммоль) β -(тиоморфолино)-пропиоамидоксима (**3**), затем добавляют до pH 2 эфирный раствор HCl

(хлористый водород, использованный для насыщения абсолютированного раствора диэтилового эфира, предварительно пропускают через ловушку с конц. H_2SO_4). Образующийся белый осадок дигидрохлорида **3·2HCl** отфильтровывают. В фильтрате по мере его дальнейшего упаривания в вакууме образуется осадок дигидрохлорида **3·2HCl**, все порции которого собирают и перекристаллизовывают из изопропилового спирта.

Кислотный гидролиз 5-(*m*-хлорфенил)-3-(тиоморфолиноэтил)-1,2,4-оксациазола (1e). В 5 мл абсолютированного этанола растворяют 0.25 г (0.81 ммоль) 1,2,4-оксациазола **1e**, затем добавляют эфирный раствор хлористого водорода, содержащий следы влаги, до pH 2. Выпавший осадок отфильтровывают, перекристаллизовывают из этанола. Получают 0.073 г (0.32 ммоль, 40 %) гидрата 2-амино-8-тиа-1-аза-5-азониаспиро[4.5]дец-1-енхлорида (**4**) с т. пл. 302 °C. Фильтрат упаривают досуха; образуется белый осадок, после перекристаллизации которого из этанола получают 0.051 г (43 %) *m*-хлорбензойной кислоты (**5e**) с т. пл. 150 °C.

Гидролиз остальных 1,2,4-оксациазолов **1a–d** выполняют аналогично.

Исследование РСА соединения **4** выполнено на дифрактометре STOE STADI-4 при комнатной температуре ($CuK\alpha$ -излучение, графитовый монохроматор, $\theta/2\theta$ -сканирование). Кристаллы **4**, выращенные из изопропилового спирта, ромбические. $\rho_{выч} = 1.357 \text{ г}/\text{см}^3$. Структура расшифрована прямым методом. Атомы водорода при атомах азота и атомах углерода помещены в геометрически вычисленные позиции. Атомы водорода в молекулах воды не выявлены. Структура уточнена в анизотропном приближении для неводородных атомов (атомы водорода уточнялись с фиксированными позиционными и температурными параметрами) МНК с помощью комплексов программ SHELX-97 [7]. Окончательный *R*-фактор составил 0.0666 по 1221 отражению с $I > 2\sigma(I)$.

Данные РСА депонированы в Кембриджском банке данных (CCDC 711438).

СПИСОК ЛИТЕРАТУРЫ

1. К. М. Бекетов, J. T. Welch, P. Toscano, Л. А. Каюкова, А. Л. Ахелова, К. Д. Пралиев, *Журн. структур. химии*, **45**, 540 (2004).
2. Л. А. Каюкова, К. Д. Пралиев, И. С. Жумадильдаева, *XGC*, 253 (2003). [*Chem. Heterocycl. Comp.*, **39**, 223 (2003)].
3. Л. А. Каюкова, К. М. Бекетов, А. Л. Ахелова, К. Д. Пралиев, *XGC*, 1057 (2006). [*Chem. Heterocycl. Comp.*, **42**, 914 (2006)].
4. Л. А. Каюкова, М. А. Оразбаева, *Изв. МОН РК, НАН РК. Сер. хим.*, № 5, 37 (2007).
5. Л. А. Каюкова, М. А. Оразбаева, *Хим. журн. Казахстана*, № 1, 99 (2008).
6. А. Гордон, Р. Форд, *Спутник химика*, Мир, Москва, 1976, с. 437. [A. J. Gordon, R. A. Ford, *The Chemist's Companion*, Wiley, New York, London, Sidney, Toronto, 1972].
7. G. M. Sheldrick, *SHELXS97 and SHELXL97*, Univ. of Göttingen, Göttingen, 1997.

АО "Институт химических наук им. А. Б. Бекетрова",
Алматы 050010, Республика Казахстан
e-mail: lkayukova@mail.ru

Поступило 01.02.2009
После доработки 20.01.2010

^aИнститут химии растительных веществ
им. С. Ю. Юнусова АН Республики Узбекистан,
Ташкент 100170, Республика Узбекистан
e-mail: cnc@icps.org.uz